

6

Referências

BARROS, I.P. Controle Estatístico de um Processo Multicanal com Médias Variáveis. Dissertação de Mestrado, Departamento de Engenharia Industrial, PUC-Rio, 2008.

BOYD, B.F. Applying the Group Chart for \bar{X} and R. **Industrial Quality Control**. p.22-25, nov 1950.

COSTA, F. B. C. EPPRECHT, E. K.; CARPINETTI, L. C. R., **Controle Estatístico de Qualidade**. São Paulo: Atlas, 2004. 334p.

DIAS, M.A. Quasi-Monte Carlo Simulation. Mar. 2007 – disponível em: <www.puc-rio.br/marco.ind/quasi_mc.thml> . Acesso em 19 out. 2007.

GODWIN, H. J. Some Low Moments of Order Statistics. **Annals of Mathematical Statistics** v. 20,n 2, p. 279-285, jun. 1949.

MONTGOMERY, D.C. **Introduction to Statistical Control Quality**. 5 ed. New York: John Wiley & Sons, 2004, 796p.

MORTELL, R. R.; RUNGER, G. C. Statistical process control of multiple stream processes. **Journal of Quality Technology**. v.27, n.1, p.1-12, jan. 1995.

L. S, NELSON. Control Charts for Multiple Stream Processes, Journal of Quality Technology. v.18, n 4, p.255-256, out.1986.

P.R, NELSON. Comunicação pessoal a L. S. Nelson fornecendo o resultado da derivação do ARL, em 1986.

OTT, R. E.; SNEE, D. R. Identifying Useful Differences in a Multiple-Head Machine. **Journal of Quality Technology**. v.5, n.2, p.47-57, abr. 1973

PASSOS, A.G.S. **Controle Estatístico de Processos Autocorrelacionados com Múltiplos Canais, com uma Aplicação a um Caso Real**. Dissertação de Mestrado, Departamento de Engenharia Industrial, PUC-Rio, 2005.

PYZDEK, T. **Pyzdek's Guide to SPC: Applications and Special Topics**. v.2, ASQC, Quality Press, 1992. 237p.

RUNGER, G.C.; ALT, F.B.; MONTGOMERY, D.C. Controlling Multiple Stream Processes with Principal Components, **International Journal of Production Research**. v.34, n11, p. 2991-2999, nov. 1996.

WHEELER, D. J. **Advanced Topics in Statistical Process Control: the Power of Shewhart's Charts**, SPC Press, 1995 470p.

7

Apêndice A – Detalhamento do Método de Fatores de Correção

Esta abordagem considera que sendo $\alpha_{individual}$ a taxa de alarme falso para um canal em particular (igual para todos os canais), num processo com s canais independentes, a taxa global de alarmes falsos para o conjunto de dados dos s canais (α_{global}), amostrados num determinado período de tempo será:

$$\alpha_{global} = 1 - (1 - \alpha_{individual})^s \quad (7.1)$$

que é maior que o próprio valor de $\alpha_{individual}$. Desta forma, um gráfico de controle de grupos, para representar uma taxa de alarme falso global de 0,0027, deve ser construído substituindo-se o limite de controle tradicional de 3σ por um limite dado em função de $L\sigma$, onde L é determinado em função do número de canais do processo, como o valor que leva a uma taxa de alarme falso individual que satisfaça:

$$0,0027 = 1 - (1 - \alpha_{individual})^s \quad (7.2)$$

Assim, a probabilidade do ponto máximo estar acima do limite superior de controle ou o ponto mínimo estar abaixo do limite inferior quando o processo encontra-se sob controle será:

$$P[(MáxX > LSC) \text{ ou } (MínX < LIC)] = 1 - (1 - \alpha_{individual})^s \quad (7.3)$$

Desta forma, para se obter uma taxa de alarmes falsos global de 0,0027, a probabilidade de um alarme falso para um único canal deverá ser:

$$\alpha_{individual} = 1 - (0,9973)^{\frac{1}{s}} \quad (7.4)$$

O limite superior de controle para o método em questão é dado por:

$$LSC = \mu + LSC_s^2 \frac{\sigma}{\sqrt{n}} \quad (7.5)$$

onde,

μ = média do processo

σ = desvio-padrão do processo

n = tamanho do subgrupo para cada canal

$$LSC_s^2 = \Phi^{-1} \left(1 - \frac{\alpha_{individual}}{2} \right), \text{ onde } \Phi \text{ é a distribuição normal padronizada.}$$

O valor de p associado a um processo de dez canais, portanto seria:

$$\alpha_{individual} = 1 - (0,9973)^{10} \quad (7.6a)$$

$$\alpha_{individual} = 0,00027 \quad (7.6b)$$

o que implicaria num $Z_{1-\frac{\alpha_{individual}}{2}} = 0,999865$, e consequentemente, num

$LSC_s^2 = 3,642$, que corresponde a $\Phi^{-1}(0,999865)$. Os limites de controle para tal processo, ficariam sendo:

$$LSC = \mu + 3,642 \frac{\sigma}{\sqrt{n}} \quad (7.7)$$

$$LC = \mu \quad (7.8)$$

$$LIC = \mu - 3,642 \frac{\sigma}{\sqrt{n}} \quad (7.9)$$

É importante destacar que no decorrer da análise do trabalho demonstrado por Colbeck (1999), foi diagnosticado um erro na equação (7.3) de Colbeck, que utilizou:

$$P[(MáxX > LSC) \text{ ou } (MínX < LIC)] = 2[1 - (1 - \alpha_{individual})^s] \quad (7.11)$$

no lugar de (7.3), que resultou em:

$$p = 1 - (0,99865)^{\frac{1}{s}} \quad (7.12)$$

Isso corresponde a trabalhar com o valor de alfa global dividido por dois. O resultado final foram, naturalmente, NMA₀'s cerca de duas vezes maiores que o desejado.

A Tabela 7.1 apresenta o cálculo detalhado do termo LSC_s^2 correto que deve ser utilizado para o cálculo dos limites de controle.

Tabela 7.1 – Detalhamento para o cálculo correto do LSC_s^4

s	α_{global}	$1 - \alpha_{global}$	$\alpha_{individual}$	$\frac{\alpha_{individual}}{2}$	LSC_s^2 corretos	LSC_s^2
2	0,0027	0,9973	0,00135	0,00068	3,205	3,399
3	0,0027	0,9973	0,00090	0,00045	3,320	3,509
4	0,0027	0,9973	0,00068	0,00034	3,399	3,582
5	0,0027	0,9973	0,00054	0,00027	3,460	3,642
6	0,0027	0,9973	0,00045	0,00023	3,509	3,689
7	0,0027	0,9973	0,00039	0,00019	3,549	3,728
8	0,0027	0,9973	0,00034	0,00017	3,584	3,762
9	0,0027	0,9973	0,00030	0,00015	3,615	3,791
10	0,0027	0,9973	0,00027	0,00014	3,642	3,817

Fonte: Própria

As duas últimas colunas da tabela mostram que os valores de LSC_s^2 obtidos pela fórmula utilizada por Colbeck são superiores aos valores corretos. A implicação do uso dos valores superiores é que estes produzirão limites de controle mais largos que os limites corretos, fazendo com que o processo seja menos capaz de diagnosticar pontos fora de controle do que o processo que utiliza os LSC_s^2 corretos (correspondentes aos NMA₀ global especificado).

8**Apêndice B – Covariância entre $e_{ti} \cdot e_{t..}$**

Da propriedade da covariância, tem-se que:

$$\text{Cov}(e_{ti..}, e_{t..}) = E(e_{ti..}e_{t..}) - E(e_{ti..})E(e_{t..}) \quad (8.1)$$

Na seção 3.2, foi visto que, para um processo sob controle,

$$e_{ti..} \sim N\left(0, \frac{\sigma^2}{n}\right) \quad (8.2)$$

e,

$$e_{t..} \sim N\left(0, \frac{\sigma^2}{ns}\right) \quad (8.3)$$

o que reduz a equação (8.1) à:

$$\text{Cov}(e_{ti..}, e_{t..}) = E(e_{ti..}e_{t..}) \quad (8.4)$$

Fazendo:

$$e_{t..} = \frac{1}{s} \sum_{k=1}^s e_{tk..} \quad (8.5)$$

então:

$$e_{ti..}e_{t..} = \frac{e_{ti..}^2}{s} + \sum_{\substack{k=1 \\ k \neq i}}^s \frac{e_{ti..}e_{tk..}}{s} \quad (8.6)$$

e, consequentemente,

$$E(e_{ti..}e_{t..}) = E\left(\frac{e_{ti..}^2}{s}\right) + \sum_{\substack{k=1 \\ k \neq i}}^s \frac{E(e_{ti..}e_{tk..})}{s} \quad (8.7a)$$

Mas, como $e_{ti..}$ e $e_{tk..}$ são independentes para $i \neq j$, o segundo termo (lado direito) da expressão acima se anula, fazendo com que esta se resuma à:

$$E(e_{ti..}e_{t..}) = E\left(\frac{e_{ti..}^2}{s}\right) \quad (8.7b)$$

Substituindo-se a expressão (8.7b) em (8.4), a expressão referente à covariância entre $e_{ti..}$ e $e_{tk..}$, passa a ser:

$$Cov(e_{ti..}, e_{t..}) = E\left(\frac{e_{ti..}^2}{s}\right) \quad (8.8a)$$

$$Cov(e_{ti..}, e_{t..}) = \frac{V(e_{ti..}) + [E(e_{ti..})]^2}{s} \quad (8.8b)$$

A partir dos dados fornecidos por (8.2), é possível reescrever a equação (8.8b) simplesmente como:

$$Cov(e_{ti..}, e_{t..}) = \frac{V(e_{ti..})}{s} \quad (8.9a)$$

$$Cov(e_{ti..}, e_{t..}) = \frac{\sigma^2}{ns} \quad (8.9b)$$

9
Apêndice C – Correlação ρ_{ij} entre duas diferenças calculadas quaisquer $\hat{e}_{ti}.$ e $\hat{e}_{tj}.$ (para $i \neq j$).

Foi visto que para qualquer canal i de um processo com s canais, a diferença média em relação ao nível-base estimado é dada pela equação:

$$\hat{e}_{ti} = e_{ti} - e_{t..} \quad (9.1a)$$

que pode ser desenvolvida em:

$$\hat{e}_{ti} = e_{ti} - \frac{1}{s} \sum_{k=1}^s e_{tk}. \quad (9.1b)$$

ou, alternativamente em:

$$\hat{e}_{ti} = \left(\frac{s-1}{s} \right) e_{ti} + \sum_{\substack{k=1 \\ k \neq i}}^s \left(-\frac{1}{s} \right) e_{tk}. \quad (9.1c)$$

De (9.1c) é possível perceber que $\hat{e}_{ti}.$ é uma combinação linear dos $e_{tk}.$,

$$\sum_{k=1}^s a_k e_{tk}, \text{ onde:}$$

$$a_k = \frac{s-1}{s}, \text{ para } k = i \quad (9.2a)$$

$$a_k = \frac{-1}{s}, \text{ para } k \neq i \quad (9.2b)$$

Da forma semelhante, $\hat{e}_{tj}.$ será uma combinação linear dos $e_{tk}.$, $\sum_{k=1}^s b_k e_{tk},$

com:

$$b_k = \frac{s-1}{s}, \text{ para } k = j \quad (9.3a)$$

$$b_k = \frac{-1}{s}, \text{ para } k \neq j \quad (9.3b)$$

Da propriedade de que, dadas duas combinações lineares U e V das mesmas variáveis $e_{t1}, e_{t2}, \dots, e_{ts}$ tais que $U = \sum_{i=1}^s a_i e_{ti}.$ e $V = \sum_{j=1}^s b_j e_{tj}.$, a covariância

entre U e V é igual a $\sum_{i=1}^k a_k b_k \sigma^2_k$, e dado que no presente caso $\sigma^2_k = \sigma^2 / n \quad \forall k$

(que representa a variância de e_{tk}), então, a covariância entre \hat{e}_{ti} e \hat{e}_{tj} pode ser escrita como:

$$Cov(\hat{e}_{ti}, \hat{e}_{tj}) = \left(\frac{s-1}{s} \right) \left(\frac{-1}{s} \right) \frac{\sigma^2}{n} + \left(\frac{s-1}{s} \right) \left(\frac{-1}{s} \right) \frac{\sigma^2}{n} + \sum_{\substack{k=1 \\ k \neq i, j}}^s \left(\frac{-1}{s} \right)^2 \frac{\sigma^2}{n} \quad (9.4a)$$

$$Cov(\hat{e}_{ti}, \hat{e}_{tj}) = -2 \left(\frac{s-1}{s^2} \right) \frac{\sigma^2}{n} + (s-2) \frac{1}{s^2} \frac{\sigma^2}{n} \quad (9.4b)$$

$$Cov(\hat{e}_{ti}, \hat{e}_{tj}) = \frac{-1}{s} \frac{\sigma^2}{n} \quad (9.4c)$$

Lembrando que $\sigma_{\hat{e}_{ti}} = \frac{s-1}{s} \sigma^2, \quad \forall i$, de modo que $\sigma_i \sigma_j = \frac{s-1}{s} \frac{\sigma^2}{n}$, a

correlação entre \hat{e}_{ti} e \hat{e}_{tj} é pode ser escrita como:

$$\delta_{\hat{e}_{ti} \cdot \hat{e}_{tj}} = \frac{\frac{-1}{s} \frac{\sigma^2}{n}}{\left(\frac{s-1}{s} \right) \frac{\sigma^2}{n}} \quad (9.5a)$$

$$\delta_{\hat{e}_{ti} \cdot \hat{e}_{tj}} = \left(\frac{-1}{s-1} \right) \quad (9.5b)$$

A partir da expressão (9.5b), é possível obter o valor da correlação entre \hat{e}_{ti} e \hat{e}_{tj} para diferentes números de canais, como pode ser visto na Tabela 9.1 a seguir.

Tabela 9.1 – Cálculo da Correlação entre \hat{e}_{ti} e \hat{e}_{tj} para processos com diferentes números de canais.

$\delta_{\hat{e}_{ti} \cdot \hat{e}_{tj}}, \forall ij$	s
2	-1,00
3	-0,50
4	-0,33
5	-0,25
10	-0,11
20	-0,05

Fonte: Própria

10**Apêndice D – Gerador de Números Aleatórios Independentes e Normalmente Distribuídos**

A geração dos números aleatórios normais padrão para os e_i 's foi baseada em um método conhecido como seqüência de baixa discrepância. Particularmente, utilizou-se a seqüência de Halton, que permite a geração da distribuição uniforme multivariada (0,1) sem clusters (ou aglomerados). O conceito dessa metodologia está associado à propriedade de gerar números sucessivos mais distantes possível uns dos outros. Para isso utiliza como base um número primo diferente para cada dimensão, que tem como função preencher os “gaps” deixados pelas seqüências anteriores, o que faz com que seu desempenho na geração de números uniformes se mostre bastante superior aos métodos tradicionais (de sorteio pseudo-aleatório), principalmente para o caso multidimensional. Nas Figuras 10.1 e 10.2, é possível comparar o desempenho em termos de aleatoriedade entre os números uniformes obtidos pelo gerador do Excel (que utiliza um critério de sorteio pseudo-aleatório) e os obtidos pela seqüência de Halton de base dois (para processos com dois canais), respectivamente e perceber a superioridade deste último.

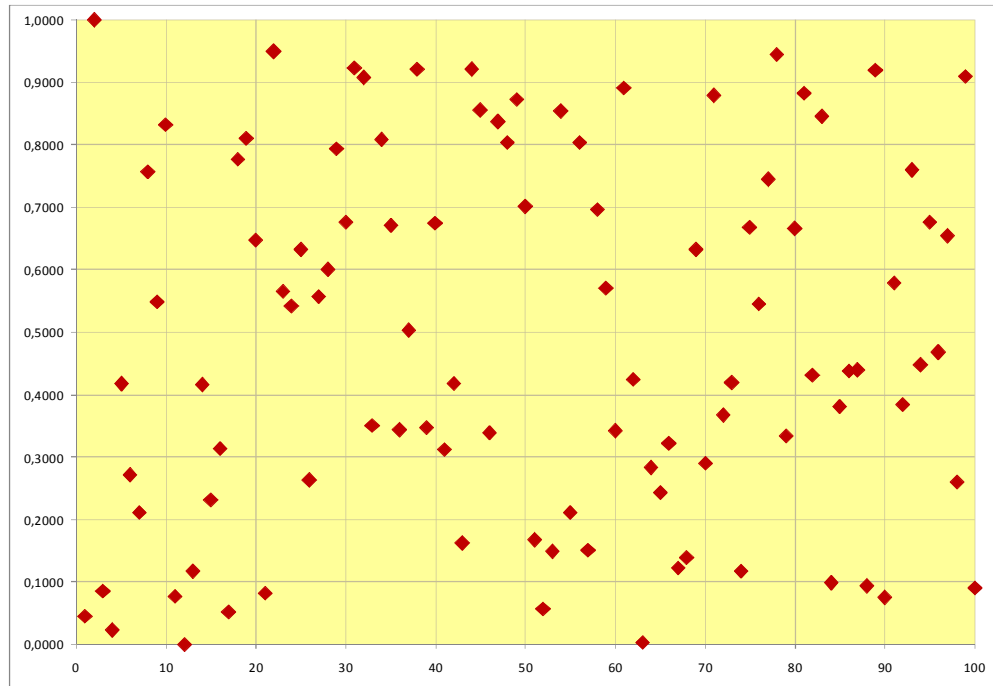


Figura 10.1 – Geração de Números Aleatórios do Excel

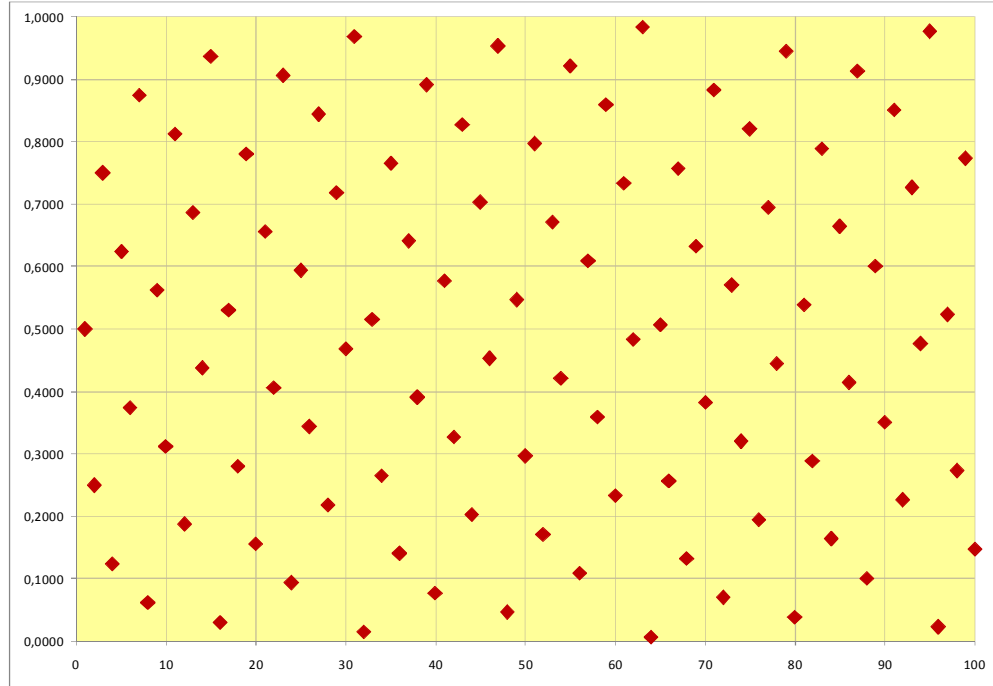


Figura 10.2 – Geração de Números Aleatórios: Seqüência de Halton (base 2)

Já para geração de números normalmente distribuídos utilizou-se a metodologia desenvolvida por Moro (1995), na qual, valores da distribuição

normal são obtidos de números aleatórios com distribuição Uniforme (0,1), por sua vez, obtidos a partir das seqüências de baixa discrepancia pela inversa da distribuição normal acumulada. A grande vantagem da Inversão de Moro em relação aos métodos tradicionais de inversão da distribuição normal acumulada está no seu bom funcionamento das caudas da distribuição. Métodos tradicionais tendem a gerar valores muito extremos, como ocorre com a função de inversão utilizada pelo Excel. A Inversão de Moro utiliza dois algoritmos distintos: um para a região central da distribuição e outro para as caudas da distribuição Normal, o que permite seu desempenho superior na inversão de pontos situados nas caudas da distribuição. Como pode ser observado na Tabela 10.1 o desempenho da função de inversão utilizada pelo Excel apresenta um baixo desempenho nas caudas, principalmente para valores da Uniforme (0,1) menores que 0,00001, o que não ocorre com a Inversão de Moro, que produz resultados rigorosamente iguais aos valores exatos com uma precisão de cinco dígitos decimais.

Tabela 10.1 – Comparação das Funções de Inversão da Normal Padrão

U	Inversão do Excel	Valor Exato	Inversão de Moro
0,001	-3,09024	-3,09023	-3,09023
0,0001	-3,71947	-3,71902	-3,71902
0,00001	-4,26546	-4,26489	-4,26489
0,000001	-476837	-4,75342	-4,75342
0,0000003	-7,15256	-4,99122	-4,99122
0,0000002	-5000000	-5,06896	-5,06896

Fonte: Dias (2007)

11

Apêndice E – Programa e Sub-Rotinas Utilizadas na Simulação

Programa Principal

```

Sub CalculoNivelBase()

    Dim N As Long           'número de observações para geração da normal
    Dim s(11) As Integer     'vetor com número de canais (cada elemento do
                            'vetor é correspondente a 1 número de canal
                            's(3)=5)
    Dim base(24) As Long      'base (nº primo) para a sequencia de Halton - 18
                            'pq é o número máximo de canais
    Dim vtab As Double        '1-alfa
    Dim ARL0(4) As Integer     'vetor com o número de ARL0 utilizados
    Dim a_3canais(4) As Double   'vetor com osvalores nominais para k obtido pela
                            'integral da normal trivariada
    Dim xdelta As Double       'diferença entre os deltas consecutivos
    Dim ndelta As Integer      'número de deltas utilizados

    Dim d() As Double          'diferença entre o maximo e minimo das observações
    Dim m() As Double          'nível base
    Dim md() As Double
    Dim c_d() As Long           'contador do número de alarmes para a diferença
                            'entre o máximo e mínimo
    Dim c_m() As Long           'contador do número de alarmes para o nível base
    Dim c_md() As Long
    Dim c_dnb() As Long          'contador do número de alarmes para a diferença em
                            'relação ao nível base
    Dim c_dnbm() As Long         'contador do número de alarmes para a diferença em
                            'relação ao nível base ou para a média

    Dim c_s1() As Long
    Dim c_s2() As Long
    Dim c_ca() As Long

    Dim ARL_d() As Double        'vetor com os ARL1`s para cada ARL0, s e delta
    Dim ARL1_m() As Double
    Dim ARL1_md() As Double
    Dim ARL1_dnb() As Double
    Dim ARL1_dnbm() As Double
    Dim ARL1_ca() As Double
    Dim ARL1_s1() As Double

```

```

Dim ARL1_s2() As Double
Dim LSC_d As Double
Dim LSC_m As Double
Dim LIC_m As Double
Dim LSC_dnb As Double
Dim LIC_dnb As Double
Dim LSC_s1 As Double
Dim LIC_s1 As Double
Dim LSC_s2 As Double
Dim LIC_s2 As Double
Dim u() As Long           'semente para geração dos números aleatórios de
                           'cada canal (varia de 1 à 40 000)
Dim v() As Double          'número aleatório de cada canal
Dim z() As Double          'valor da normal(0,1) para cada canal
Dim a As Double
Dim a_ind As Double
Dim xARL0, xs, xn, i, j, k As Integer
Dim r As Double
Dim Tab_ARL1 As Worksheet
Dim flag_d As Boolean
Dim flag_m As Boolean
Dim flag_dnb As Boolean

Set Tab_ARL1 = Worksheets("Tab") 'Tab_ARL1 representa a sheet "Tab" do excel
N = Tab_ARL1.Range("N")
raiz_n = Tab_ARL1.Range("raiz_n")

ARL0(1) = Tab_ARL1.Range("ARL0_100")
ARL0(2) = Tab_ARL1.Range("ARL0_111")
ARL0(3) = Tab_ARL1.Range("ARL0_200")
ARL0(4) = Tab_ARL1.Range("ARL0_370")

s(1) = Tab_ARL1.Range("s_2")
s(2) = Tab_ARL1.Range("s_3")
s(3) = Tab_ARL1.Range("s_5")
s(4) = Tab_ARL1.Range("s_6")
s(5) = Tab_ARL1.Range("s_8")
s(6) = Tab_ARL1.Range("s_10")
s(7) = Tab_ARL1.Range("s_12")
s(8) = Tab_ARL1.Range("s_15")
s(9) = Tab_ARL1.Range("s_18")
s(10) = Tab_ARL1.Range("s_20")
s(11) = Tab_ARL1.Range("s_24")

base(1) = 2
base(2) = 3
base(3) = 5

```

```
base(4) = 7
base(5) = 11
base(6) = 13
base(7) = 17
base(8) = 19
base(9) = 23
base(10) = 29
base(11) = 31
base(12) = 37
base(13) = 41
base(14) = 43
base(15) = 47
base(16) = 53
base(17) = 59
base(18) = 61
base(19) = 67
base(20) = 71
base(21) = 73
base(22) = 79
base(23) = 83
base(24) = 89

a_3canais(1) = 2.917
a_3canais(2) = 2.947
a_3canais(3) = 3.129
a_3canais(4) = 3.308

xdelta = 0.5 * Sqr(raiz_n)
ndelta = 9

ReDim d(1 To ndelta)
ReDim m(1 To ndelta)
ReDim md(1 To ndelta)
ReDim c_d(1 To ndelta)
ReDim c_m(1 To ndelta)
ReDim c_md(1 To ndelta)
ReDim c_dnb(1 To ndelta)
ReDim c_dnbm(1 To ndelta)
ReDim c_s1(1 To ndelta)
ReDim c_s2(1 To ndelta)
ReDim c_ca(1 To ndelta)
ReDim ARL1_d(1 To 4, 1 To 11, 1 To ndelta)
ReDim ARL1_m(1 To 4, 1 To 11, 1 To ndelta)
ReDim ARL1_md(1 To 4, 1 To 11, 1 To ndelta)
ReDim ARL1_dnb(1 To 4, 1 To 11, 1 To ndelta)
ReDim ARL1_dnbm(1 To 4, 1 To 11, 1 To ndelta)
ReDim ARL1_ca(1 To 4, 1 To 11, 1 To ndelta)
```

```

ReDim ARL1_s1(1 To 4, 1 To 1, 1 To ndelta)
ReDim ARL1_s2(1 To 4, 1 To 1, 1 To ndelta)

For xARL0 = 1 To 4
    a = 1 / ARL0(xARL0)
    vtab = 1 - a
    For xs = 1 To 11
        If xs = 1 Then
            a_ind = a
        Else
            a_ind = 1 - (1 - a) ^ (1 / s(xs))
        End If
        ReDim u(1 To s(xs))
        ReDim v(1 To s(xs))
        ReDim z(1 To s(xs))
        LSC_m = -Application.WorksheetFunction.NormSInv(0.5 / ARL0(xARL0)) /
                  Sqr(s(xs))
        LIC_m = Application.WorksheetFunction.NormSInv(0.5 / ARL0(xARL0)) /
                  Sqr(s(xs))
        LSC_d = tabela(vtab, s(xs))
        If xs = 2 Then
            LSC_dnb = a_3canais(xARL0) * Sqr((s(xs) - 1) / s(xs))
            LIC_dnb = -a_3canais(xARL0) * Sqr((s(xs) - 1) / s(xs))
        Else
            LSC_dnb = -Application.WorksheetFunction.NormSInv(0.5 * a_ind) *
                      Sqr((s(xs) - 1) / s(xs))
            LIC_dnb = Application.WorksheetFunction.NormSInv(0.5 * a_ind) *
                      Sqr((s(xs) - 1) / s(xs))
        End If
        LSC_s1 = -Application.WorksheetFunction.NormSInv(0.5 * a)
        LIC_s1 = Application.WorksheetFunction.NormSInv(0.5 * a)
        LSC_s2 = -Application.WorksheetFunction.NormSInv(0.5 * a)
        LIC_s2 = Application.WorksheetFunction.NormSInv(0.5 * a)
        For i = 1 To s(xs)
            r = Rnd()
            u(i) = r * N
            If u(i) = 0 Then u(i) = 1
        Next
        For j = 1 To ndelta
            c_d(j) = 0
            c_m(j) = 0
            c_md(j) = 0
            c_dnb(j) = 0
            c_dnbm(j) = 0
            c_s1(j) = 0
            c_s2(j) = 0
            c_ca(j) = 0
        Next
    End If
End For

```

```

Next
For xn = 1 To N
    For i = 1 To s(xs)
        v(i) = HaltonBaseb(base(i), u(i))
        z(i) = Moro_NormSInv(v(i))
    If u(i) = N Then
        u(i) = 1
    Else
        u(i) = u(i) + 1
    End If
Next
For j = 1 To ndelta
    If j = 1 Then
        z(1) = z(1) 'o delta está sendo somado sempre ao primeiro
        'canal sendo que quando j=1 z(1) não sofrerá shift
    Else
        z(1) = z(1) + xdelta
    End If
    'cálculo da diferença
    xmax = Application.WorksheetFunction.Max(z)
    xmin = Application.WorksheetFunction.Min(z)
    d(j) = xmax - xmin
    flag_d = False
    If d(j) > LSC_d Then
        c_d(j) = c_d(j) + 1
        flag_d = True
    End If
    'cálculo da média
    m(j) = Application.WorksheetFunction.Average(z)
    flag_m = False
    If m(j) > LSC_m Or m(j) < LIC_m Then
        c_m(j) = c_m(j) + 1
        flag_m = True
    End If
    If flag_d = True Or flag_m = True Then
        c_md(j) = c_md(j) + 1
    End If
    'cálculo da diferença em relação ao nível base
    flag_dnb = False
    If (xmax - m(j) > LSC_dnb) Or (xmin - m(j) < LIC_dnb) Then
        flag_dnb = True
        c_dnb(j) = c_dnb(j) + 1
    End If
    If flag_m = True Or flag_dnb = True Then
        c_dnbm(j) = c_dnbm(j) + 1
    End If

```

```

If z(1) - m(j) > LSC_dnb Or z(1) - m(j) < LIC_dnb Then
    c_ca(j) = c_ca(j) + 1

End If

Next j

Next xn
For j = 1 To ndelta
    ARL1_d(xARL0, xs, j) = N / IIf(c_d(j) > 0, c_d(j), 1)
    ARL1_m(xARL0, xs, j) = N / IIf(c_m(j) > 0, c_m(j), 1)
    ARL1_md(xARL0, xs, j) = N / IIf(c_md(j) > 0, c_md(j), 1)
    ARL1_dnb(xARL0, xs, j) = N / IIf(c_dnb(j) > 0, c_dnb(j), 1)
    ARL1_dnbm(xARL0, xs, j) = N / IIf(c_dnbm(j) > 0, c_dnbm(j), 1)

    ARL1_ca(xARL0, xs, j) = N / IIf(c_ca(j) > 0, c_ca(j), 1)

    ARL1_s1(xARL0, 1, j) = N / IIf(c_s1(j) > 0, c_s1(j), 1)
    ARL1_s2(xARL0, 1, j) = N / IIf(c_s2(j) > 0, c_s2(j), 1)

    Tab_ARL1.Range("Tab_ARL1_d").Cells(xs, ((xARL0 - 1) * 9 + 1) +
        (j - 1)) = ARL1_d(xARL0, xs, j) 'escreve no excel o valor do ARL1
        'na celula do caso correspondente
    Tab_ARL1.Range("Tab_ARL1_m").Cells(xs, ((xARL0 - 1) * 9 + 1) +
        (j - 1)) = ARL1_m(xARL0, xs, j)
    Tab_ARL1.Range("Tab_ARL1_md").Cells(xs, ((xARL0 - 1) * 9 + 1) +
        (j - 1)) = ARL1_md(xARL0, xs, j)
    Tab_ARL1.Range("Tab_ARL1_dnb").Cells(xs, ((xARL0 - 1) * 9 + 1) +
        (j - 1)) = ARL1_dnb(xARL0, xs, j)
    Tab_ARL1.Range("Tab_ARL1_dnbm").Cells(xs, ((xARL0 - 1) * 9 + 1) +
        (j - 1)) = ARL1_dnbm(xARL0, xs, j)
    Tab_ARL1.Range("Tab_ARL1_ca").Cells(xs, ((xARL0 - 1) * 9 + 1) +
        (j - 1)) = ARL1_ca(xARL0, xs, j)
    Tab_ARL1.Range("Tab_ARL1_s1").Cells(1, ((xARL0 - 1) * 9 + 1) +
        (j - 1)) = ARL1_s1(xARL0, 1, j)
    Tab_ARL1.Range("Tab_ARL1_s2").Cells(1, ((xARL0 - 1) * 9 + 1) +
        (j - 1)) = ARL1_s2(xARL0, 1, j)

Next
Next xs
Next xARL0
End Sub

```

Funções Auxiliares

```
Function HaltonBaseb(b As Long, N As Long) As Double
```

```

' Returns the equivalent first van der Corput sequence number (used in Halton,
' Faure, Sobol)

    Dim h As Double, ib As Double
    Dim i As Long, n0 As Long, n1 As Long
    n0 = N
    h = 0
    ib = 1 / b
    Do While n0 > 0
        n1 = Int(n0 / b)
        i = n0 - n1 * b
        h = h + ib * i
        ib = ib / b
        n0 = n1
    Loop
    HaltonBaseb = h
End Function

Function Moro_NormSInv(u As Double) As Double
    ' Calculates the Normal Standard numbers given u, the associated uniform number
    '(0, 1)
    ' VBA version of the Moro's (1995) code in C
    ' Option Base 1 is necessary to be declared before this function for vector
    ' elements positioning to work

    Dim c1, c2, c3, c4, c5, c6, c7, c8, c9
    Dim X As Double
    Dim r As Double
    Dim a As Variant
    Dim b As Variant
    a = Array(2.50662823884, -18.61500062529, 41.39119773534, -25.44106049637)
    b = Array(-8.4735109309, 23.08336743743, -21.06224101826, 3.13082909833)
    c1 = 0.337475482272615
    c2 = 0.976169019091719
    c3 = 0.160797971491821
    c4 = 2.76438810333863E-02
    c5 = 3.8405729373609E-03
    c6 = 3.951896511919E-04
    c7 = 3.21767881768E-05
    c8 = 2.888167364E-07
    c9 = 3.960315187E-07
    X = u - 0.5
    If Abs(X) < 0.42 Then
        r = X ^ 2
        r = X * (((a(4) * r + a(3)) * r + a(2)) * r + a(1)) / (((b(4) * r + b(3))
            * r + b(2)) * r + b(1)) * r + 1)
    Else
        If X > 0 Then r = Log(-Log(1 - u))
        If X <= 0 Then r = Log(-Log(u))
    End If
End Function

```

```

r = c1 + r * (c2 + r * (c3 + r * (c4 + r * (c5 + r * (c6 + r *
(c7 + r * (c8 + r * c9)))))))
If X <= 0 Then r = -r
End If
Moro_NormSInv = r
End Function

Function tabela(vtab As Double, s As Integer) As Double
Dim i As Integer
Dim w As Double
Dim a As Double
Dim b As Double
Dim c As Double

i = 6
Do While Not vtab < Worksheets("Tabela w").Cells(i, s)
    i = i + 1
Loop
c = Worksheets("Tabela w").Cells(i - 1, s)
b = Worksheets("Tabela w").Cells(i - 1, 1)
a = (Worksheets("Tabela w").Cells(i, 1) - Worksheets("Tabela w").
    Cells(i - 1, 1)) / (Worksheets("Tabela w").Cells(i, s)
    - Worksheets("Tabela w").Cells(i - 1, s))
w = b + a * (vtab - c)
tabela = w
End Function

```

12**Apêndice F – Comparação dos NMA₁'s para os Gráficos das Diferenças em Relação ao Nível Base e R_t de M&R.**

A seguir serão apresentadas os resultados obtidos por simulação para o NMA₁ do gráfico R_b de M&R, e para o gráfico das diferenças em relação ao nível-base, o que permite a comparação de seus desempenhos.

Tabela 12.1- Comparação dos NMA₁'s para os Gráficos da Diferença em Relação ao Nível-Base e Gráfico de R_t de M&R (n = 2)

NMAo = 100										NMAo = 200										NMAo=370,38									
	NMA ₁ para o Gráfico de R_t de M&R										NMA ₁ para o Gráfico de R_t de M&R										NMA ₁ para o Gráfico de R_t de M&R								
s	Delta										Delta										Delta								
	0	0,5	1	1,5	2	2,5	3	3,5	4		0	0,5	1	1,5	2	2,5	3	3,5	4		0	0,5	1	1,5	2	2,5	3	3,5	4
2	100,3	50,1	17,4	7,1	3,5	2,1	1,5	1,2	1,1	202,3	91,4	28,3	10,5	4,8	2,6	1,7	1,3	1,1		370,4	157,3	44,4	15,1	6,4	3,3	2,0	1,5	1,2	
3	100,6	54,8	19,1	7,4	3,5	2,0	1,4	1,2	1,1	203,3	100,4	31,2	10,9	4,7	2,5	1,6	1,3	1,1		374,7	177,4	49,5	15,9	6,3	3,1	1,9	1,4	1,1	
5	101,3	62,8	22,5	8,3	3,7	2,1	1,4	1,1	1,0	201,8	115,9	37,6	12,4	5,0	2,5	1,6	1,2	1,1		382,8	208,1	60,6	18,1	6,7	3,1	1,8	1,3	1,1	
6	101,0	64,6	24,2	8,8	3,8	2,1	1,4	1,1	1,0	200,5	124,1	40,7	13,2	5,2	2,6	1,6	1,2	1,1		353,2	210,2	64,3	19,1	6,9	3,2	1,8	1,3	1,1	
8	99,6	68,1	26,8	9,5	4,0	2,2	1,4	1,2	1,0	204,9	131,6	46,0	14,5	5,5	2,7	1,6	1,2	1,1		373,0	231,5	74,0	21,3	7,4	3,3	1,9	1,3	1,1	
10	101,5	71,9	29,3	10,3	4,2	2,2	1,5	1,2	1,0	199,8	136,1	49,4	15,6	5,8	2,7	1,7	1,2	1,1		378,3	246,2	81,2	23,0	7,8	3,4	1,9	1,3	1,1	
12	98,6	73,9	31,1	10,9	4,4	2,3	1,5	1,2	1,0	207,5	143,4	53,3	16,7	6,0	2,8	1,7	1,2	1,1		399,0	264,0	88,3	24,6	8,1	3,5	1,9	1,3	1,1	
15	100,4	77,5	33,6	11,9	4,7	2,4	1,5	1,2	1,0	196,1	145,5	58,9	18,1	6,4	2,9	1,7	1,3	1,1		376,5	266,2	96,6	26,8	8,7	3,6	2,0	1,4	1,1	
18	100,6	79,1	36,3	12,6	4,9	2,4	1,5	1,2	1,1	201,5	150,2	63,3	19,5	6,8	3,0	1,7	1,3	1,1		346,3	264,5	100,8	28,3	9,1	3,7	2,0	1,4	1,1	
20	99,8	81,3	37,6	13,1	5,0	2,5	1,5	1,2	1,1	199,3	155,9	66,2	20,2	7,0	3,1	1,8	1,3	1,1		392,2	287,8	109,8	30,0	9,4	3,8	2,0	1,4	1,1	
24	101,8	82,5	40,6	14,1	5,3	2,5	1,6	1,2	1,1	205,9	163,8	71,5	21,8	7,4	3,2	1,8	1,3	1,1		387,4	293,6	118,1	32,3	9,9	4,0	2,1	1,4	1,1	
	NMA ₁ para o Gráfico das Diferenças em Relação ao Nível-Base									NMA ₁ para o Gráfico das Diferenças em Relação ao Nível-Base									NMA ₁ para o Gráfico das Diferenças em Relação ao Nível-Base										
	Delta									Delta									Delta										
s	0	0,5	1	1,5	2	2,5	3	3,5	4	0	0,5	1	1,5	2	2,5	3	3,5	4	0	0,5	1	1,5	2	2,5	3	3,5	4		
2	99,9	50,0	17,3	7,1	3,5	2,1	1,5	1,2	1,1	202,3	91,4	28,3	10,5	4,8	2,6	1,7	1,3	1,1	362,0	155,6	43,8	14,9	6,3	3,2	2,0	1,4	1,2		
3	100,1	54,6	19,0	7,3	3,4	2,0	1,4	1,1	1,0	204,1	100,9	31,1	10,6	4,5	2,4	1,6	1,2	1,1	382,8	172,6	48,4	15,1	5,8	2,9	1,7	1,3	1,1		
5	103,0	64,2	22,3	7,7	3,3	1,9	1,3	1,1	1,0	204,6	118,8	36,7	11,2	4,3	2,2	1,4	1,1	1,0	381,9	207,8	56,9	15,7	5,5	2,6	1,6	1,2	1,1		
6	101,3	66,0	23,6	8,0	3,3	1,8	1,3	1,1	1,0	206,2	124,5	39,2	11,6	4,3	2,2	1,4	1,1	1,0	373,0	217,4	60,6	16,2	5,5	2,5	1,6	1,2	1,1		
8	99,8	70,4	25,9	8,5	3,4	1,9	1,3	1,1	1,0	200,0	130,3	43,4	12,3	4,5	2,2	1,4	1,1	1,0	409,2	236,7	67,3	17,2	5,6	2,5	1,5	1,2	1,0		
10	100,9	73,4	28,0	9,0	3,6	1,9	1,3	1,1	1,0	207,3	142,6	47,8	13,0	4,6	2,2	1,4	1,1	1,0	386,5	260,6	76,1	18,2	5,8	2,6	1,5	1,2	1,0		
12	102,2	74,9	30,3	9,6	3,7	1,9	1,3	1,1	1,0	201,5	147,3	51,6	13,8	4,7	2,2	1,4	1,1	1,0	395,1	270,7	78,6	19,3	6,0	2,6	1,5	1,2	1,0		
15	101,1	79,8	33,1	10,3	3,9	2,0	1,3	1,1	1,0	202,8	153,7	55,1	14,9	5,0	2,3	1,4	1,1	1,0	367,8	273,5	87,6	21,0	6,3	2,7	1,6	1,2	1,0		
18	101,3	81,4	35,3	11,0	4,0	2,0	1,3	1,1	1,0	206,7	153,8	59,6	15,9	5,2	2,4	1,5	1,1	1,0	389,3	292,5	96,5	22,7	6,6	2,7	1,6	1,2	1,0		
20	100,5	81,8	36,9	11,3	4,1	2,0	1,3	1,1	1,0	207,0	161,0	61,8	16,5	5,3	2,4	1,5	1,1	1,0	384,6	293,0	99,3	23,3	6,8	2,8	1,6	1,2	1,0		
24	100,7	84,4	39,1	12,1	4,3	2,1	1,4	1,1	1,0	204,3	166,8	67,1	17,7	5,6	2,5	1,5	1,1	1,0	375,6	296,8	107,7	25,0	7,1	2,9	1,6	1,2	1,0		

Tabela 12.2 - Comparação dos NMA₁'s para os Gráficos da Diferença em Relação ao Nível-Base e Gráfico de R_t de M&R (n = 3)

NMAo = 100										NMAo = 200										NMAo=370,38									
	NMA ₁ para o Gráfico de R_t de M&R										NMA ₁ para o Gráfico de R_t de M&R										NMA ₁ para o Gráfico de R_t de M&R								
s	Delta										Delta										Delta								
	0	0,5	1	1,5	2	2,5	3	3,5	4		0	0,5	1	1,5	2	2,5	3	3,5	4		0	0,5	1	1,5	2	2,5	3	3,5	4
2	100,3	39,3	11,3	4,4	2,2	1,5	1,2	1,0	1,0	202,3	69,4	17,6	6,0	2,8	1,7	1,2	1,1	1,0	370,4	117,3	26,7	8,2	3,5	1,9	1,3	1,1	1,0		
3	100,6	43,3	12,2	4,4	2,1	1,4	1,1	1,0	1,0	203,3	77,3	19,1	6,0	2,6	1,6	1,2	1,0	1,0	374,7	132,1	29,0	8,2	3,3	1,8	1,3	1,1	1,0		
5	101,3	50,5	14,2	4,7	2,2	1,4	1,1	1,0	1,0	201,8	91,5	22,4	6,6	2,7	1,5	1,2	1,0	1,0	382,8	160,2	34,5	9,0	3,3	1,7	1,2	1,1	1,0		
6	101,0	52,9	15,0	4,9	2,2	1,4	1,1	1,0	1,0	200,5	98,3	24,1	6,8	2,7	1,5	1,2	1,0	1,0	353,2	163,6	36,7	9,4	3,4	1,7	1,2	1,1	1,0		
8	99,6	56,7	16,7	5,2	2,3	1,4	1,1	1,0	1,0	204,9	108,1	27,0	7,4	2,8	1,6	1,2	1,0	1,0	373,0	188,7	42,0	10,1	3,5	1,8	1,2	1,1	1,0		
10	101,5	61,2	18,2	5,5	2,3	1,4	1,1	1,0	1,0	199,8	113,3	29,4	7,8	2,9	1,6	1,2	1,0	1,0	378,3	201,5	45,6	10,7	3,6	1,8	1,2	1,1	1,0		
12	98,6	63,3	19,2	5,8	2,4	1,4	1,1	1,0	1,0	207,5	120,8	31,2	8,2	3,0	1,6	1,2	1,0	1,0	399,0	217,4	49,9	11,3	3,7	1,8	1,2	1,1	1,0		
15	100,4	67,7	21,2	6,2	2,5	1,4	1,1	1,0	1,0	196,1	124,8	34,2	8,8	3,1	1,6	1,2	1,0	1,0	376,5	226,6	54,5	12,2	3,9	1,9	1,2	1,1	1,0		
18	100,6	69,3	22,6	6,5	2,6	1,5	1,1	1,0	1,0	201,5	130,3	37,0	9,3	3,2	1,7	1,2	1,0	1,0	346,3	227,0	57,0	12,8	4,0	1,9	1,2	1,1	1,0		
20	99,8	71,4	23,6	6,7	2,6	1,5	1,1	1,0	1,0	199,3	137,5	39,1	9,6	3,3	1,7	1,2	1,0	1,0	392,2	240,6	61,1	13,4	4,1	1,9	1,3	1,1	1,0		
24	101,8	73,8	25,4	7,1	2,7	1,5	1,1	1,0	1,0	205,9	142,9	41,9	10,2	3,4	1,7	1,2	1,0	1,0	387,4	257,2	66,3	14,3	4,3	1,9	1,3	1,1	1,0		
	NMA ₁ para o Gráfico das Diferenças em Relação ao Nível-Base									NMA ₁ para o Gráfico das Diferenças em Relação ao Nível-Base									NMA ₁ para o Gráfico das Diferenças em Relação ao Nível-Base										
	Delta										Delta										Delta								
s	0	0,5	1	1,5	2	2,5	3	3,5	4		0	0,5	1	1,5	2	2,5	3	3,5	4		0	0,5	1	1,5	2	2,5	3	3,5	4
2	99,9	39,2	11,3	4,3	2,2	1,5	1,2	1,0	1,0	202,3	69,4	17,6	6,0	2,8	1,7	1,2	1,1	1,0	362,0	115,4	26,4	8,2	3,4	1,9	1,3	1,1	1,0		
3	100,1	43,8	12,1	4,2	2,1	1,3	1,1	1,0	1,0	204,1	78,3	18,8	5,8	2,5	1,5	1,1	1,0	1,0	382,8	129,6	28,2	7,8	3,0	1,7	1,2	1,1	1,0		
5	103,0	51,5	13,6	4,3	1,9	1,3	1,1	1,0	1,0	204,6	94,5	21,1	5,7	2,3	1,4	1,1	1,0	1,0	381,9	160,6	31,1	7,5	2,8	1,5	1,1	1,0	1,0		
6	101,3	54,1	14,3	4,3	1,9	1,3	1,1	1,0	1,0	206,2	98,9	22,1	5,8	2,3	1,4	1,1	1,0	1,0	373,0	173,2	33,0	7,6	2,7	1,5	1,1	1,0	1,0		
8	99,8	58,8	15,5	4,5	1,9	1,3	1,1	1,0	1,0	200,0	107,2	24,2	6,0	2,3	1,4	1,1	1,0	1,0	409,2	191,4	35,7	7,8	2,7	1,5	1,1	1,0	1,0		
10	100,9	62,4	16,7	4,7	2,0	1,3	1,1	1,0	1,0	207,3	119,3	26,4	6,2	2,3	1,4	1,1	1,0	1,0	386,5	203,3	39,7	8,2	2,8	1,5	1,1	1,0	1,0		
12	102,2	64,8	17,8	4,8	2,0	1,3	1,1	1,0	1,0	201,5	123,8	27,9	6,5	2,4	1,4	1,1	1,0	1,0	395,1	218,9	41,7	8,5	2,8	1,5	1,1	1,0	1,0		
15	101,1	69,4	19,3	5,1	2,1	1,3	1,1	1,0	1,0	202,8	130,4	30,6	6,9	2,4	1,4	1,1	1,0	1,0	367,8	221,9	45,2	9,0	2,9	1,5	1,1	1,0	1,0		
18	101,3	71,7	20,7	5,4	2,1	1,3	1,1	1,0	1,0	206,7	133,7	32,6	7,2	2,5	1,4	1,1	1,0	1,0	389,3	248,8	50,4	9,5	3,0	1,5	1,1	1,0	1,0		
20	100,5	71,8	21,5	5,6	2,2	1,3	1,1	1,0	1,0	207,0	139,0	34,5	7,5	2,6	1,4	1,1	1,0	1,0	384,6	245,8	51,5	9,8	3,0	1,5	1,1	1,0	1,0		
24	100,7	75,7	23,2	5,8	2,2	1,3	1,1	1,0	1,0	204,3	149,1	37,0	7,9	2,6	1,4	1,1	1,0	1,0	375,6	258,1	55,9	10,4	3,1	1,5	1,1	1,0	1,0		

Tabela 12.3 - Comparação dos NMA₁'s para os Gráficos da Diferença em Relação ao Nível-Base e Gráfico de R_t de M&R (n = 4)

s	NMA ₁ para o Gráfico de R_t de M&R									NMA ₁ para o Gráfico de R_t de M&R									NMA ₁ para o Gráfico de R_t de M&R								
	Delta									Delta									Delta								
0	0,5	1	1,5	2	2,5	3	3,5	4	0	0,5	1	1,5	2	2,5	3	3,5	4	0	0,5	1	1,5	2	2,5	3	3,5	4	
2	100,3	31,9	8,2	3,1	1,7	1,2	1,1	1,0	1,0	202,3	55,2	12,2	4,1	2,0	1,3	1,1	1,0	1,0	370,4	92,6	17,9	5,3	2,3	1,4	1,1	1,0	1,0
3	100,6	35,6	8,6	3,0	1,6	1,2	1,0	1,0	1,0	203,3	61,8	12,9	4,0	1,9	1,2	1,1	1,0	1,0	374,7	104,0	19,0	5,2	2,2	1,3	1,1	1,0	1,0
5	101,3	41,8	9,8	3,1	1,6	1,1	1,0	1,0	1,0	201,8	74,9	14,9	4,2	1,8	1,2	1,0	1,0	1,0	382,8	126,3	21,9	5,4	2,1	1,3	1,1	1,0	1,0
6	101,0	44,3	10,3	3,2	1,6	1,1	1,0	1,0	1,0	200,5	79,6	15,8	4,3	1,9	1,2	1,0	1,0	1,0	353,2	133,8	23,2	5,6	2,2	1,3	1,1	1,0	1,0
8	99,6	48,0	11,3	3,4	1,6	1,1	1,0	1,0	1,0	204,9	89,0	17,5	4,5	1,9	1,2	1,0	1,0	1,0	373,0	153,6	26,1	5,9	2,2	1,3	1,1	1,0	1,0
10	101,5	52,2	12,2	3,5	1,6	1,1	1,0	1,0	1,0	199,8	94,7	19,0	4,7	1,9	1,2	1,0	1,0	1,0	378,3	164,6	28,3	6,2	2,2	1,3	1,1	1,0	1,0
12	98,6	54,3	13,0	3,7	1,7	1,1	1,0	1,0	1,0	207,5	101,2	20,2	4,9	2,0	1,2	1,0	1,0	1,0	399,0	180,4	30,6	6,5	2,3	1,3	1,1	1,0	1,0
15	100,4	58,2	14,2	3,9	1,7	1,2	1,0	1,0	1,0	196,1	108,0	22,2	5,2	2,0	1,2	1,0	1,0	1,0	376,5	187,1	33,4	6,8	2,4	1,3	1,1	1,0	1,0
18	100,6	61,0	15,1	4,0	1,7	1,2	1,0	1,0	1,0	201,5	114,7	23,8	5,4	2,1	1,2	1,0	1,0	1,0	346,3	193,0	35,3	7,1	2,4	1,3	1,1	1,0	1,0
20	99,8	63,4	15,8	4,1	1,8	1,2	1,0	1,0	1,0	199,3	117,7	24,7	5,6	2,1	1,2	1,0	1,0	1,0	392,2	210,5	37,7	7,3	2,4	1,3	1,1	1,0	1,0
24	101,8	65,8	16,9	4,3	1,8	1,2	1,0	1,0	1,0	205,9	123,4	26,6	5,9	2,1	1,3	1,0	1,0	1,0	387,4	221,6	40,3	7,7	2,5	1,4	1,1	1,0	1,0
s	NMA ₁ para o Gráfico das Diferenças em Relação ao Nível-Base									NMA ₁ para o Gráfico das Diferenças em Relação ao Nível-Base									NMA ₁ para o Gráfico das Diferenças em Relação ao Nível-Base								
0	0,5	1	1,5	2	2,5	3	3,5	4	0	0,5	1	1,5	2	2,5	3	3,5	4	0	0,5	1	1,5	2	2,5	3	3,5	4	
2	99,9	31,8	8,1	3,1	1,7	1,2	1,1	1,0	1,0	202,3	55,2	12,2	4,1	2,0	1,3	1,1	1,0	1,0	362,0	91,3	17,7	5,3	2,3	1,4	1,1	1,0	1,0
3	100,1	35,8	8,5	2,9	1,5	1,1	1,0	1,0	1,0	204,1	62,6	12,7	3,8	1,8	1,2	1,0	1,0	1,0	382,8	104,0	18,2	4,8	2,0	1,3	1,1	1,0	1,0
5	103,0	42,4	9,1	2,8	1,4	1,1	1,0	1,0	1,0	204,6	74,8	13,5	3,6	1,6	1,1	1,0	1,0	1,0	381,9	123,4	19,3	4,5	1,8	1,2	1,0	1,0	1,0
6	101,3	44,9	9,5	2,8	1,4	1,1	1,0	1,0	1,0	206,2	78,9	14,0	3,6	1,6	1,1	1,0	1,0	1,0	373,0	136,4	20,1	4,4	1,8	1,2	1,0	1,0	1,0
8	99,8	49,5	10,3	2,9	1,4	1,1	1,0	1,0	1,0	200,0	86,8	15,0	3,6	1,6	1,1	1,0	1,0	1,0	409,2	152,1	21,4	4,5	1,8	1,2	1,0	1,0	1,0
10	100,9	52,9	10,9	3,0	1,4	1,1	1,0	1,0	1,0	207,3	97,3	16,1	3,7	1,6	1,1	1,0	1,0	1,0	386,5	163,9	23,1	4,6	1,8	1,2	1,0	1,0	1,0
12	102,2	56,4	11,5	3,0	1,4	1,1	1,0	1,0	1,0	201,5	103,4	17,2	3,8	1,6	1,1	1,0	1,0	1,0	395,1	174,3	24,6	4,8	1,8	1,2	1,0	1,0	1,0
15	101,1	59,4	12,5	3,2	1,5	1,1	1,0	1,0	1,0	202,8	111,1	18,5	4,0	1,6	1,1	1,0	1,0	1,0	367,8	182,2	26,6	5,0	1,8	1,2	1,0	1,0	1,0
18	101,3	62,2	13,3	3,3	1,5	1,1	1,0	1,0	1,0	206,7	117,1	20,0	4,2	1,7	1,1	1,0	1,0	1,0	389,3	208,6	28,4	5,2	1,9	1,2	1,0	1,0	1,0
20	100,5	63,8	13,8	3,4	1,5	1,1	1,0	1,0	1,0	207,0	118,0	20,8	4,3	1,7	1,1	1,0	1,0	1,0	384,6	205,9	29,7	5,3	1,9	1,2	1,0	1,0	1,0
24	100,7	66,9	14,7	3,5	1,5	1,1	1,0	1,0	1,0	204,3	126,4	22,5	4,4	1,7	1,1	1,0	1,0	1,0	375,6	216,5	32,0	5,6	1,9	1,2	1,0	1,0	1,0

Tabela 12.4 - Comparação dos NMA₁'s para os Gráficos da Diferença em Relação ao Nível-Base e Gráfico de R_t de M&R (n = 5)

NMAo = 100										NMAo = 200										NMAo=370,38									
		NMA ₁ para o Gráfico de R_t de M&R										NMA ₁ para o Gráfico de R_t de M&R										NMA ₁ para o Gráfico de R_t de M&R							
		Delta										Delta										Delta							
s	0	0,5	1	1,5	2	2,5	3	3,5	4	0	0,5	1	1,5	2	2,5	3	3,5	4	0	0,5	1	1,5	2	2,5	3	3,5	4		
2	100,3	26,8	6,3	2,4	1,4	1,1	1,0	1,0	1,0	202,3	45,5	9,1	3,0	1,6	1,1	1,0	1,0	1,0	370,4	74,4	12,9	3,8	1,8	1,2	1,0	1,0	1,0	1,0	
3	100,6	29,8	6,4	2,3	1,3	1,1	1,0	1,0	1,0	203,3	51,0	9,4	2,9	1,5	1,1	1,0	1,0	1,0	374,7	83,5	13,4	3,6	1,7	1,1	1,0	1,0	1,0	1,0	
5	101,3	35,2	7,2	2,3	1,3	1,1	1,0	1,0	1,0	201,8	61,5	10,6	3,0	1,4	1,1	1,0	1,0	1,0	382,8	103,3	15,1	3,7	1,6	1,1	1,0	1,0	1,0	1,0	
6	101,0	37,4	7,5	2,4	1,3	1,0	1,0	1,0	1,0	200,5	66,5	11,2	3,0	1,5	1,1	1,0	1,0	1,0	353,2	108,7	16,0	3,8	1,6	1,1	1,0	1,0	1,0	1,0	
8	99,6	40,8	8,2	2,5	1,3	1,0	1,0	1,0	1,0	204,9	74,8	12,2	3,1	1,5	1,1	1,0	1,0	1,0	373,0	124,6	17,6	3,9	1,6	1,1	1,0	1,0	1,0	1,0	
10	101,5	44,7	8,8	2,6	1,3	1,1	1,0	1,0	1,0	199,8	78,5	13,1	3,2	1,5	1,1	1,0	1,0	1,0	378,3	135,7	18,9	4,1	1,7	1,1	1,0	1,0	1,0	1,0	
12	98,6	46,8	9,3	2,6	1,3	1,1	1,0	1,0	1,0	207,5	84,5	13,9	3,3	1,5	1,1	1,0	1,0	1,0	399,0	146,3	20,2	4,2	1,7	1,1	1,0	1,0	1,0	1,0	
15	100,4	50,8	10,1	2,7	1,4	1,1	1,0	1,0	1,0	196,1	92,4	15,1	3,5	1,5	1,1	1,0	1,0	1,0	376,5	159,5	22,2	4,4	1,7	1,1	1,0	1,0	1,0	1,0	
18	100,6	53,2	10,7	2,8	1,4	1,1	1,0	1,0	1,0	201,5	98,0	16,2	3,6	1,5	1,1	1,0	1,0	1,0	346,3	164,8	23,3	4,5	1,7	1,1	1,0	1,0	1,0	1,0	
20	99,8	55,1	11,1	2,9	1,4	1,1	1,0	1,0	1,0	199,3	101,7	16,8	3,7	1,5	1,1	1,0	1,0	1,0	392,2	179,2	24,3	4,7	1,7	1,1	1,0	1,0	1,0	1,0	
24	101,8	58,3	11,8	3,0	1,4	1,1	1,0	1,0	1,0	205,9	108,5	18,1	3,8	1,6	1,1	1,0	1,0	1,0	387,4	188,7	26,3	4,9	1,8	1,1	1,0	1,0	1,0	1,0	
	NMA ₁ para o Gráfico das Diferenças em Relação ao Nível-Base									NMA ₁ para o Gráfico das Diferenças em Relação ao Nível-Base									NMA ₁ para o Gráfico das Diferenças em Relação ao Nível-Base										
	Delta									Delta									Delta										
s	0	0,5	1	1,5	2	2,5	3	3,5	4	0	0,5	1	1,5	2	2,5	3	3,5	4	0	0,5	1	1,5	2	2,5	3	3,5	4		
2	99,9	26,7	6,3	2,4	1,4	1,1	1,0	1,0	1,0	202,3	45,4	9,1	3,0	1,6	1,1	1,0	1,0	1,0	362,0	73,3	12,8	3,8	1,8	1,2	1,0	1,0	1,0	1,0	
3	100,1	29,8	6,3	2,2	1,3	1,0	1,0	1,0	1,0	204,1	51,3	9,1	2,7	1,4	1,1	1,0	1,0	1,0	382,8	82,7	12,8	3,4	1,6	1,1	1,0	1,0	1,0	1,0	
5	103,0	35,4	6,6	2,1	1,2	1,0	1,0	1,0	1,0	204,6	61,8	9,4	2,5	1,3	1,0	1,0	1,0	1,0	381,9	100,9	13,0	3,0	1,4	1,1	1,0	1,0	1,0	1,0	
6	101,3	37,5	6,8	2,1	1,2	1,0	1,0	1,0	1,0	206,2	65,1	9,7	2,5	1,3	1,0	1,0	1,0	1,0	373,0	108,3	13,2	3,0	1,4	1,1	1,0	1,0	1,0	1,0	
8	99,8	41,7	7,2	2,1	1,2	1,0	1,0	1,0	1,0	200,0	72,5	10,2	2,5	1,3	1,0	1,0	1,0	1,0	409,2	122,4	14,0	3,0	1,4	1,1	1,0	1,0	1,0	1,0	
10	100,9	44,6	7,6	2,2	1,2	1,0	1,0	1,0	1,0	207,3	80,0	10,8	2,6	1,3	1,0	1,0	1,0	1,0	386,5	132,9	14,8	3,1	1,4	1,1	1,0	1,0	1,0	1,0	
12	102,2	48,0	8,0	2,2	1,2	1,0	1,0	1,0	1,0	201,5	85,5	11,4	2,6	1,3	1,0	1,0	1,0	1,0	395,1	142,1	15,7	3,1	1,4	1,1	1,0	1,0	1,0	1,0	
15	101,1	51,1	8,6	2,3	1,2	1,0	1,0	1,0	1,0	202,8	93,4	12,3	2,7	1,3	1,0	1,0	1,0	1,0	367,8	152,1	16,9	3,2	1,4	1,1	1,0	1,0	1,0	1,0	
18	101,3	54,2	9,1	2,3	1,2	1,0	1,0	1,0	1,0	206,7	98,3	13,0	2,8	1,3	1,0	1,0	1,0	1,0	389,3	170,0	18,1	3,3	1,4	1,1	1,0	1,0	1,0	1,0	
20	100,5	55,7	9,4	2,4	1,2	1,0	1,0	1,0	1,0	207,0	100,8	13,5	2,8	1,3	1,0	1,0	1,0	1,0	384,6	167,5	18,6	3,4	1,4	1,1	1,0	1,0	1,0	1,0	
24	100,7	58,8	10,1	2,4	1,2	1,0	1,0	1,0	1,0	204,3	108,3	14,3	2,9	1,3	1,0	1,0	1,0	1,0	375,6	181,6	20,0	3,5	1,4	1,1	1,0	1,0	1,0	1,0	

13**Apêndice G – Comparação das Probabilidades de Sinal verdadeiro, porém “incorrecto”, para o Esquema de M&R ($P(B \cap \bar{R})$) e pelo Esquema Proposto ($P(O \cup B) \cap \bar{A}$)**

As probabilidades $P(B \cap \bar{R})$ e $P(O \cup B) \cap \bar{A}$ serão apresentadas a seguir em uma mesma tabela, a fim de facilitar a comparação, para $n = 2, 3, 4$ e 5 .

É importante lembrar, que os valores aqui apresentados são limitantes superiores para as probabilidades em questão, sendo exatos para o caso do nível-base estático (i.e. $\sigma_b = 0$).

Tabela 13.1 – Probabilidade de Sinal Verdadeiro, porém “incorrecto”, para o Esquema de M&R e pelo Esquema Proposto (n=2)

ESQUEMA DO RANGE, DE M&R (n=2)													
NMAo = 100													
s	Delta									Delta			
	0	0,5	1	1,5	2	2,5	3	3,5	4	0	0,5	1	1,5
2	0,01	0,02	0,05	0,12	0,20	0,25	0,22	0,15	0,07	0,00	0,01	0,03	0,09
3	0,01	0,02	0,04	0,08	0,12	0,15	0,13	0,09	0,04	0,01	0,01	0,02	0,05
5	0,01	0,01	0,03	0,05	0,07	0,08	0,07	0,05	0,02	0,01	0,01	0,01	0,03
6	0,01	0,01	0,02	0,04	0,06	0,07	0,06	0,04	0,02	0,01	0,01	0,01	0,02
8	0,01	0,01	0,02	0,03	0,04	0,05	0,04	0,03	0,01	0,00	0,01	0,01	0,02
10	0,01	0,01	0,02	0,03	0,04	0,04	0,03	0,02	0,01	0,00	0,01	0,01	0,02
12	0,01	0,01	0,02	0,03	0,03	0,03	0,02	0,01	0,01	0,01	0,01	0,01	0,02
15	0,01	0,01	0,02	0,03	0,03	0,02	0,01	0,01	0,01	0,00	0,01	0,01	0,01
18	0,01	0,01	0,02	0,02	0,02	0,01	0,01	0,01	0,01	0,01	0,01	0,01	0,01
20	0,01	0,01	0,02	0,02	0,02	0,02	0,01	0,00	0,01	0,01	0,01	0,01	0,01
24	0,01	0,01	0,01	0,02	0,02	0,02	0,01	0,00	0,00	0,01	0,01	0,01	0,01
ESQUEMA DAS DIFERENÇAS (n=2)													
s	Delta									Delta			
	0	0,5	1	1,5	2	2,5	3	3,5	4	0	0,5	1	1,5
2	0,01	0,02	0,05	0,12	0,20	0,25	0,22	0,15	0,07	0,00	0,01	0,03	0,09
3	0,02	0,02	0,05	0,10	0,14	0,17	0,14	0,08	0,03	0,01	0,01	0,03	0,06
5	0,02	0,02	0,04	0,06	0,08	0,08	0,06	0,03	0,01	0,01	0,02	0,04	0,06
6	0,02	0,02	0,03	0,05	0,07	0,07	0,05	0,03	0,01	0,01	0,02	0,03	0,04
8	0,02	0,02	0,03	0,04	0,05	0,05	0,04	0,02	0,01	0,01	0,02	0,03	0,03
10	0,02	0,02	0,03	0,04	0,04	0,04	0,03	0,01	0,00	0,01	0,01	0,01	0,02
12	0,02	0,02	0,03	0,03	0,04	0,03	0,02	0,01	0,00	0,01	0,01	0,01	0,02
15	0,02	0,02	0,02	0,03	0,03	0,03	0,02	0,01	0,00	0,01	0,01	0,02	0,02
18	0,02	0,02	0,02	0,03	0,03	0,02	0,01	0,00	0,01	0,01	0,02	0,02	0,01
20	0,02	0,02	0,02	0,03	0,03	0,02	0,01	0,00	0,01	0,01	0,02	0,01	0,00
24	0,02	0,02	0,02	0,03	0,03	0,02	0,02	0,01	0,00	0,01	0,01	0,02	0,00

Tabela 13.2 - Probabilidade de Sinal Verdadeiro, porém “incorrecto”, para o Esquema de M&R e pelo Esquema Proposto (n=3)

ESQUEMA DO RANGE, DE M&R (n=3)																											
NMAo = 100										NMAo = 200				NMAo=370,38													
s	Delta									Delta									Delta								
	0	0,5	1	1,5	2	2,5	3	3,5	4	0	0,5	1	1,5	2	2,5	3	3,5	4	0	0,5	1	1,5	2	2,5	3	3,5	4
2	0,01	0,02	0,08	0,18	0,25	0,22	0,12	0,04	0,01	0,00	0,01	0,05	0,14	0,23	0,24	0,16	0,06	0,02	0,00	0,01	0,04	0,11	0,21	0,25	0,19	0,09	0,03
3	0,01	0,02	0,05	0,11	0,15	0,13	0,07	0,02	0,00	0,01	0,01	0,03	0,08	0,13	0,14	0,09	0,03	0,01	0,00	0,01	0,02	0,06	0,11	0,14	0,10	0,05	0,01
5	0,01	0,02	0,03	0,06	0,08	0,07	0,04	0,01	0,00	0,01	0,01	0,02	0,04	0,07	0,07	0,04	0,02	0,00	0,00	0,00	0,01	0,03	0,05	0,06	0,05	0,02	0,01
6	0,01	0,01	0,03	0,05	0,07	0,06	0,03	0,01	0,00	0,01	0,01	0,02	0,03	0,05	0,05	0,03	0,01	0,00	0,00	0,00	0,01	0,02	0,04	0,05	0,03	0,02	0,00
8	0,01	0,01	0,02	0,04	0,05	0,04	0,02	0,01	0,00	0,00	0,01	0,01	0,03	0,04	0,04	0,02	0,01	0,00	0,00	0,00	0,01	0,02	0,03	0,03	0,02	0,01	0,00
10	0,01	0,01	0,02	0,03	0,04	0,03	0,02	0,00	0,00	0,00	0,01	0,01	0,02	0,03	0,03	0,02	0,01	0,00	0,00	0,00	0,01	0,01	0,02	0,02	0,02	0,01	0,00
12	0,01	0,01	0,02	0,03	0,03	0,03	0,01	0,00	0,00	0,01	0,01	0,01	0,02	0,02	0,02	0,01	0,00	0,00	0,00	0,00	0,01	0,01	0,02	0,02	0,01	0,01	0,00
15	0,01	0,01	0,02	0,02	0,03	0,02	0,01	0,00	0,00	0,00	0,01	0,01	0,01	0,02	0,02	0,01	0,00	0,00	0,00	0,00	0,01	0,01	0,01	0,01	0,01	0,00	0,00
18	0,01	0,01	0,02	0,02	0,02	0,02	0,01	0,00	0,00	0,01	0,01	0,01	0,02	0,02	0,01	0,01	0,00	0,00	0,00	0,00	0,01	0,01	0,01	0,01	0,01	0,00	0,00
20	0,01	0,01	0,02	0,02	0,02	0,02	0,01	0,00	0,00	0,01	0,01	0,01	0,02	0,02	0,01	0,01	0,00	0,00	0,00	0,00	0,01	0,01	0,01	0,01	0,01	0,00	0,00
24	0,01	0,01	0,02	0,02	0,02	0,02	0,01	0,00	0,00	0,00	0,01	0,01	0,01	0,01	0,01	0,01	0,00	0,00	0,00	0,00	0,01	0,01	0,01	0,01	0,01	0,00	0,00
ESQUEMA DAS DIFERENÇAS (n=3)																											
s	Delta									Delta									Delta								
	0	0,5	1	1,5	2	2,5	3	3,5	4	0	0,5	1	1,5	2	2,5	3	3,5	4	0	0,5	1	1,5	2	2,5	3	3,5	4
2	0,01	0,02	0,08	0,18	0,25	0,22	0,12	0,04	0,01	0,00	0,01	0,05	0,14	0,23	0,24	0,16	0,06	0,02	0,00	0,01	0,04	0,11	0,21	0,25	0,19	0,09	0,03
3	0,02	0,03	0,07	0,13	0,17	0,13	0,06	0,02	0,00	0,01	0,02	0,04	0,09	0,14	0,14	0,08	0,03	0,01	0,00	0,01	0,03	0,07	0,12	0,13	0,09	0,04	0,01
5	0,02	0,02	0,05	0,07	0,08	0,06	0,02	0,01	0,00	0,01	0,01	0,03	0,05	0,07	0,06	0,03	0,01	0,00	0,00	0,01	0,02	0,03	0,05	0,05	0,03	0,01	0,00
6	0,02	0,02	0,04	0,06	0,07	0,05	0,02	0,00	0,00	0,01	0,01	0,02	0,04	0,05	0,04	0,02	0,01	0,00	0,01	0,01	0,01	0,03	0,04	0,04	0,02	0,01	0,00
8	0,02	0,02	0,03	0,05	0,05	0,03	0,01	0,00	0,00	0,01	0,01	0,02	0,03	0,04	0,03	0,01	0,00	0,00	0,00	0,01	0,01	0,02	0,03	0,02	0,01	0,00	0,00
10	0,02	0,02	0,03	0,04	0,04	0,03	0,01	0,00	0,00	0,01	0,01	0,02	0,02	0,03	0,02	0,01	0,00	0,00	0,01	0,01	0,01	0,02	0,02	0,02	0,01	0,00	0,00
12	0,02	0,02	0,03	0,04	0,04	0,02	0,01	0,00	0,00	0,01	0,01	0,02	0,02	0,02	0,02	0,01	0,00	0,00	0,00	0,01	0,01	0,01	0,02	0,01	0,01	0,00	0,00
15	0,02	0,02	0,03	0,03	0,03	0,02	0,01	0,00	0,00	0,01	0,01	0,01	0,02	0,02	0,01	0,01	0,00	0,00	0,01	0,01	0,01	0,01	0,01	0,01	0,01	0,00	0,00
18	0,02	0,02	0,03	0,03	0,03	0,02	0,01	0,00	0,00	0,01	0,01	0,01	0,02	0,02	0,01	0,01	0,00	0,00	0,01	0,01	0,01	0,01	0,01	0,01	0,01	0,00	0,00
20	0,02	0,02	0,03	0,03	0,02	0,02	0,00	0,00	0,00	0,01	0,01	0,01	0,02	0,02	0,01	0,01	0,00	0,00	0,01	0,01	0,01	0,01	0,01	0,01	0,00	0,00	0,00
24	0,02	0,02	0,02	0,03	0,02	0,01	0,00	0,00	0,00	0,01	0,01	0,01	0,02	0,02	0,01	0,01	0,00	0,00	0,01	0,01	0,01	0,01	0,01	0,01	0,00	0,00	0,00

Tabela 13.3 - Probabilidade de Sinal Verdadeiro, porém “incorrecto”, para o Esquema de M&R e pelo Esquema Proposto (n=4)

ESQUEMA DO RANGE, DE M&R (n=4)																		
NMAo = 100									NMAo = 200									
NMA1 para o Gráfico do Range									NMA1 para o Gráfico do Range									
Delta									Delta									
s	0	0,5	1	1,5	2	2,5	3	3,5	4	0	0,5	1	1,5	2	2,5	3	3,5	4
2	0,01	0,03	0,11	0,22	0,24	0,14	0,05	0,01	0,00	0,00	0,02	0,08	0,19	0,25	0,18	0,07	0,02	0,00
3	0,01	0,02	0,07	0,13	0,15	0,08	0,02	0,00	0,00	0,01	0,01	0,05	0,11	0,14	0,10	0,04	0,01	0,00
5	0,01	0,02	0,04	0,07	0,08	0,04	0,01	0,00	0,00	0,01	0,01	0,03	0,05	0,07	0,05	0,02	0,00	0,00
6	0,01	0,02	0,04	0,06	0,06	0,04	0,01	0,00	0,00	0,01	0,01	0,02	0,04	0,06	0,04	0,01	0,00	0,00
8	0,01	0,01	0,03	0,05	0,05	0,03	0,01	0,00	0,00	0,00	0,01	0,02	0,03	0,04	0,03	0,01	0,00	0,00
10	0,01	0,01	0,02	0,04	0,04	0,02	0,01	0,00	0,00	0,00	0,01	0,01	0,02	0,03	0,02	0,01	0,00	0,00
12	0,01	0,01	0,02	0,03	0,03	0,02	0,00	0,00	0,00	0,01	0,01	0,01	0,02	0,02	0,01	0,02	0,01	0,00
15	0,01	0,01	0,02	0,03	0,03	0,01	0,00	0,00	0,00	0,00	0,01	0,01	0,02	0,02	0,01	0,00	0,00	0,00
18	0,01	0,01	0,02	0,02	0,02	0,01	0,00	0,00	0,00	0,01	0,01	0,01	0,02	0,01	0,00	0,00	0,00	0,00
20	0,01	0,01	0,02	0,02	0,02	0,01	0,00	0,00	0,00	0,01	0,01	0,01	0,01	0,01	0,00	0,01	0,00	0,00
24	0,01	0,01	0,02	0,02	0,02	0,01	0,00	0,00	0,00	0,00	0,01	0,01	0,01	0,01	0,00	0,01	0,00	0,00
ESQUEMA DAS DIFERENÇAS (n=4)																		
s	0	0,5	1	1,5	2	2,5	3	3,5	4	0	0,5	1	1,5	2	2,5	3	3,5	4
2	0,01	0,03	0,11	0,22	0,24	0,14	0,05	0,01	0,00	0,00	0,02	0,08	0,19	0,25	0,18	0,07	0,02	0,00
3	0,02	0,03	0,09	0,15	0,15	0,08	0,02	0,00	0,00	0,01	0,02	0,06	0,12	0,15	0,09	0,03	0,00	0,00
5	0,02	0,03	0,05	0,08	0,07	0,03	0,01	0,00	0,00	0,01	0,01	0,03	0,06	0,06	0,03	0,01	0,00	0,00
6	0,02	0,03	0,05	0,07	0,06	0,02	0,00	0,00	0,00	0,01	0,01	0,03	0,05	0,05	0,03	0,01	0,00	0,00
8	0,02	0,02	0,04	0,05	0,04	0,02	0,00	0,00	0,00	0,01	0,01	0,02	0,03	0,03	0,02	0,00	0,00	0,00
10	0,02	0,02	0,03	0,04	0,03	0,01	0,00	0,00	0,00	0,01	0,01	0,02	0,03	0,03	0,01	0,00	0,00	0,00
12	0,02	0,02	0,03	0,04	0,03	0,01	0,00	0,00	0,00	0,01	0,01	0,02	0,02	0,02	0,01	0,00	0,00	0,00
15	0,02	0,02	0,03	0,03	0,02	0,01	0,00	0,00	0,00	0,01	0,01	0,02	0,02	0,01	0,00	0,00	0,00	0,00
18	0,02	0,02	0,03	0,03	0,02	0,01	0,00	0,00	0,00	0,01	0,01	0,01	0,02	0,01	0,00	0,00	0,00	0,00
20	0,02	0,02	0,03	0,03	0,02	0,01	0,00	0,00	0,00	0,01	0,01	0,01	0,02	0,01	0,00	0,00	0,00	0,00
24	0,02	0,02	0,03	0,03	0,02	0,01	0,00	0,00	0,00	0,01	0,01	0,01	0,02	0,01	0,01	0,00	0,00	0,00

Tabela 13.4 - Probabilidade de Sinal Verdadeiro, porém “incorrecto”, para o Esquema de M&R e pelo Esquema Proposto (n=5)

ESQUEMA DAS DIFERENÇAS DE (n=5)																											
NMAo = 100									NMAo = 200					NMAo=370,38													
s	NMA1 para o Gráfico do Range								NMA1 para o Gráfico do Range								NMA1 para o Gráfico do Range										
	0	0,5	1	1,5	2	2,5	3	3,5	4	0	0,5	1	1,5	2	2,5	3	3,5	4	0	0,5	1	1,5	2	2,5	3	3,5	4
2	0,01	0,04	0,13	0,24	0,20	0,08	0,01	0,00	0,00	0,00	0,02	0,10	0,22	0,23	0,11	0,03	0,00	0,00	0,00	0,01	0,07	0,20	0,25	0,14	0,04	0,01	0,00
3	0,01	0,03	0,08	0,15	0,12	0,04	0,01	0,00	0,00	0,01	0,02	0,06	0,13	0,13	0,06	0,01	0,00	0,00	0,00	0,01	0,04	0,10	0,13	0,08	0,02	0,00	0,00
5	0,01	0,02	0,05	0,08	0,07	0,02	0,00	0,00	0,00	0,01	0,01	0,03	0,06	0,06	0,03	0,01	0,00	0,00	0,00	0,01	0,02	0,05	0,06	0,03	0,01	0,00	0,00
6	0,01	0,02	0,04	0,07	0,05	0,02	0,00	0,00	0,00	0,01	0,01	0,03	0,05	0,05	0,02	0,00	0,00	0,00	0,00	0,01	0,02	0,04	0,05	0,03	0,01	0,00	0,00
8	0,01	0,02	0,03	0,05	0,04	0,01	0,00	0,00	0,00	0,00	0,01	0,02	0,04	0,03	0,02	0,00	0,00	0,00	0,00	0,01	0,03	0,03	0,02	0,00	0,00	0,00	0,00
10	0,01	0,01	0,03	0,04	0,03	0,01	0,00	0,00	0,00	0,00	0,01	0,02	0,03	0,03	0,01	0,00	0,00	0,00	0,00	0,01	0,02	0,02	0,01	0,00	0,00	0,00	0,00
12	0,01	0,01	0,02	0,03	0,03	0,01	0,00	0,00	0,00	0,01	0,01	0,01	0,02	0,02	0,01	0,00	0,00	0,00	0,00	0,01	0,02	0,02	0,01	0,00	0,00	0,00	0,00
15	0,01	0,01	0,02	0,03	0,02	0,01	0,00	0,00	0,00	0,00	0,01	0,01	0,02	0,02	0,01	0,00	0,00	0,00	0,00	0,01	0,01	0,01	0,01	0,00	0,00	0,00	0,00
18	0,01	0,01	0,02	0,02	0,02	0,01	0,00	0,00	0,00	0,01	0,01	0,01	0,02	0,01	0,01	0,00	0,00	0,00	0,00	0,01	0,01	0,01	0,01	0,00	0,00	0,00	0,00
20	0,01	0,01	0,02	0,02	0,02	0,00	0,00	0,00	0,00	0,01	0,01	0,01	0,01	0,01	0,00	0,00	0,00	0,00	0,00	0,01	0,01	0,01	0,00	0,00	0,00	0,00	0,00
24	0,01	0,01	0,02	0,02	0,01	0,00	0,00	0,00	0,00	0,00	0,01	0,01	0,01	0,01	0,00	0,00	0,00	0,00	0,00	0,01	0,01	0,01	0,00	0,00	0,00	0,00	0,00
Probabilidade de Qualquer Canal Sinalizar, Exeto o Canal Afetado - Esquema das Diferenças (n=5)																											
s	0	0,5	1	1,5	2	2,5	3	3,5	4	0	0,5	1	1,5	2	2,5	3	3,5	4	0	0,5	1	1,5	2	2,5	3	3,5	4
2	0,01	0,04	0,13	0,24	0,20	0,08	0,01	0,00	0,00	0,00	0,02	0,10	0,22	0,23	0,11	0,03	0,00	0,00	0,00	0,01	0,07	0,19	0,25	0,14	0,04	0,01	0,00
3	0,02	0,04	0,10	0,17	0,12	0,04	0,00	0,00	0,00	0,01	0,02	0,07	0,14	0,13	0,05	0,01	0,00	0,00	0,00	0,01	0,05	0,11	0,13	0,06	0,01	0,00	0,00
5	0,02	0,03	0,06	0,09	0,05	0,01	0,00	0,00	0,00	0,01	0,02	0,04	0,06	0,05	0,02	0,00	0,00	0,00	0,00	0,01	0,03	0,05	0,05	0,02	0,00	0,00	0,00
6	0,02	0,03	0,05	0,07	0,04	0,01	0,00	0,00	0,00	0,01	0,02	0,03	0,05	0,04	0,01	0,00	0,00	0,00	0,01	0,01	0,02	0,04	0,04	0,01	0,00	0,00	0,00
8	0,02	0,03	0,04	0,05	0,03	0,01	0,00	0,00	0,00	0,01	0,01	0,03	0,04	0,03	0,01	0,00	0,00	0,00	0,00	0,01	0,02	0,03	0,02	0,01	0,00	0,00	0,00
10	0,02	0,02	0,04	0,04	0,02	0,01	0,00	0,00	0,00	0,01	0,01	0,02	0,03	0,02	0,01	0,00	0,00	0,00	0,01	0,01	0,02	0,02	0,01	0,00	0,00	0,00	0,00
12	0,02	0,02	0,03	0,04	0,02	0,00	0,00	0,00	0,00	0,01	0,01	0,02	0,02	0,02	0,00	0,00	0,00	0,00	0,00	0,01	0,01	0,02	0,01	0,00	0,00	0,00	0,00
15	0,02	0,02	0,03	0,03	0,02	0,00	0,00	0,00	0,00	0,01	0,01	0,02	0,02	0,01	0,00	0,00	0,00	0,00	0,01	0,01	0,01	0,01	0,00	0,00	0,00	0,00	0,00
18	0,02	0,02	0,03	0,03	0,01	0,00	0,00	0,00	0,00	0,01	0,01	0,02	0,02	0,01	0,00	0,00	0,00	0,00	0,01	0,01	0,01	0,01	0,00	0,00	0,00	0,00	0,00
20	0,02	0,02	0,03	0,03	0,01	0,00	0,00	0,00	0,00	0,01	0,01	0,02	0,02	0,01	0,00	0,00	0,00	0,00	0,01	0,01	0,01	0,01	0,00	0,00	0,00	0,00	0,00
24	0,02	0,02	0,02	0,02	0,01	0,00	0,00	0,00	0,00	0,01	0,01	0,01	0,02	0,01	0,00	0,00	0,00	0,00	0,01	0,01	0,01	0,01	0,00	0,00	0,00	0,00	0,00